



가

[1-9].

900MWt

[2].

900MWt

BREST-300[4]

INEEL

[5]

## 2. BREST-300

700MWt(300Mwe)

BREST-300

1

540

420

340

520

BREST-300

19m

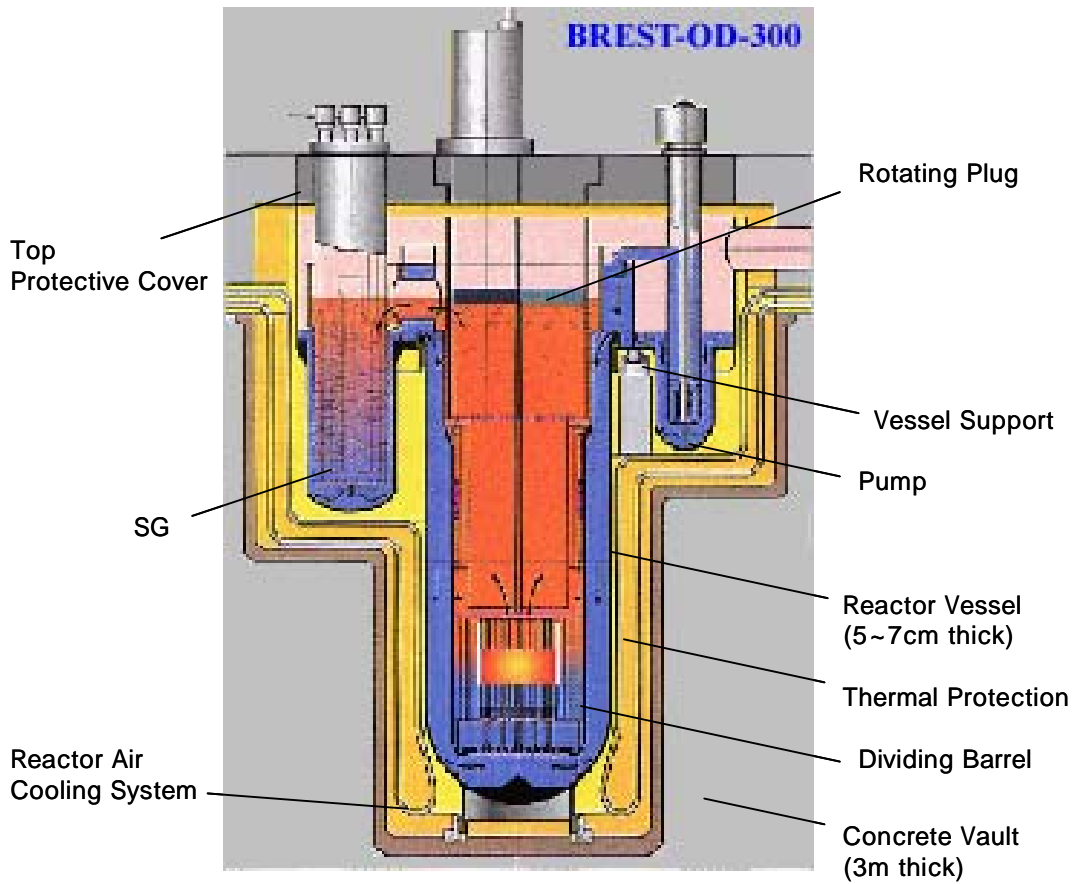
5.5m,

12m,

5~7cm

11.5m,

7m



1.

BREST-300

가 4 4  
85cm 2m  
24 6000 1075  
1000 8000  
가  
가  
가 4m, 10.8m  
420  
17 60 0.1dpa  
08X16H11M3  
11.75m, 2m 2~5cm, 493  
15cm  
Reactor vault 12m, 7m, 20m vault  
3m 100 thermal shield ( vault  
10cm) 50cm  
vault  
가  
BREST-300 0.86m<sup>2</sup>  
3000 34MPa 420 119MPa  
420

**3. INEEL**

1950 - 가

high power density

가

가

가

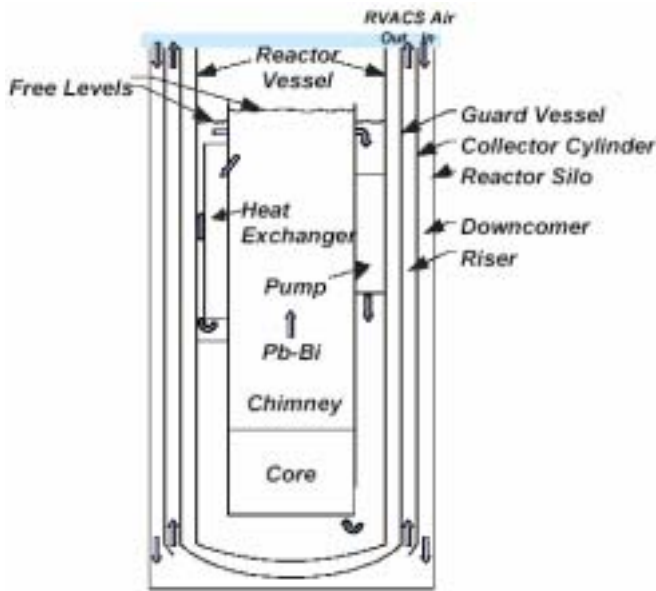
INEEL MIT

가

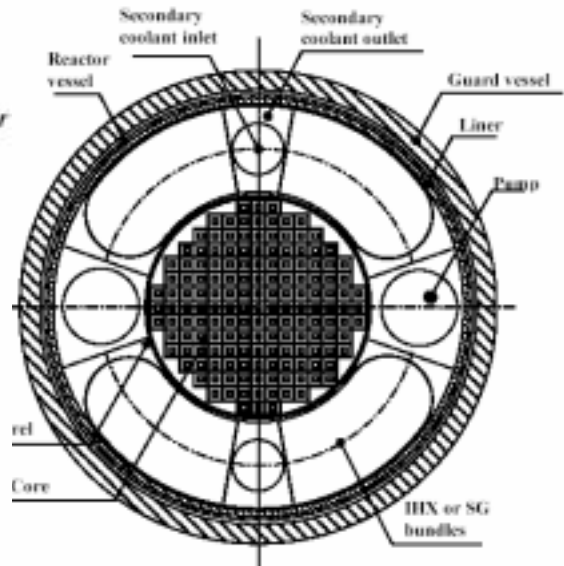
2 3 INEEL

(Guard Vessel)가

가 RVACS(Reactor Vessel Auxiliary Cooling System)



2. INEEL



3. INEEL

1. INEEL

|                |                |       |
|----------------|----------------|-------|
| Thermal Power  | 700-875MWt     |       |
| Reactor Vessel | Outer Diameter | 5.5m  |
|                | Thickness      | 5cm   |
|                | Length         | 18.8m |
| Guard Vessel   | Outer Diameter | 6.15m |
|                | Thickness      | 25cm  |
| Liner          | Outer Diameter | 5.3m  |
|                | Thickness      | 1cm   |
| Core Barrel    | Outer Diameter | 3.2m  |
|                | Thickness      | 2cm   |

가 1 .

700~875MWt

3 2

가

CO<sub>2</sub> 가 가

9m 8

INEEL 1m,

가

가 core barrel

가

neutronics

가 가

RVACS

가

가

**4. 900MWt**

BREST-300 INEEL

900MWt

INEEL

1 3200

5cm 126 , 10cm 407 ,

20% 가

500 가

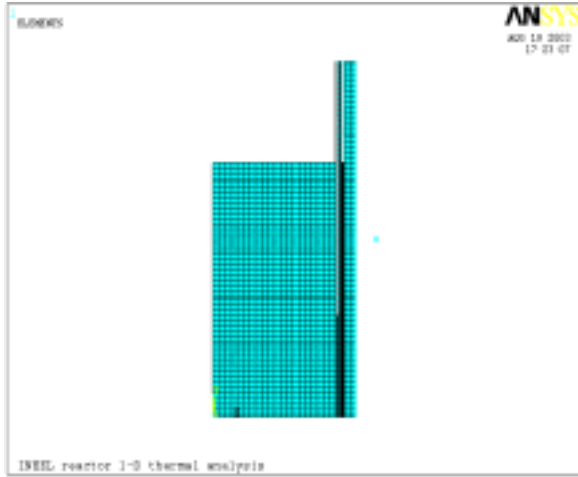
4.1

461°C, 552°C

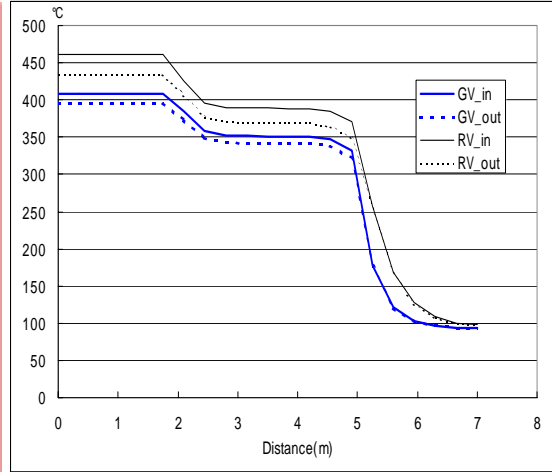
1cm, 5.3m 가 5cm

gap

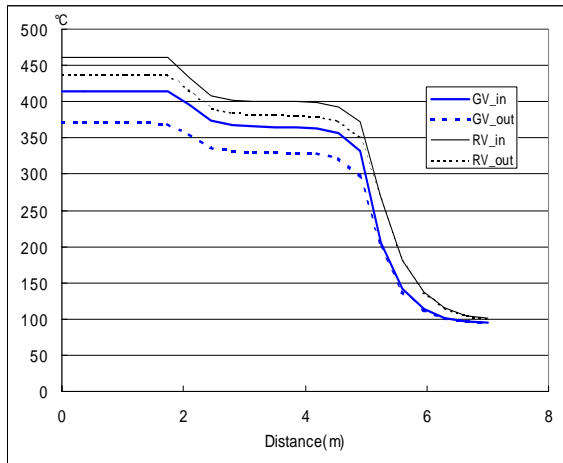




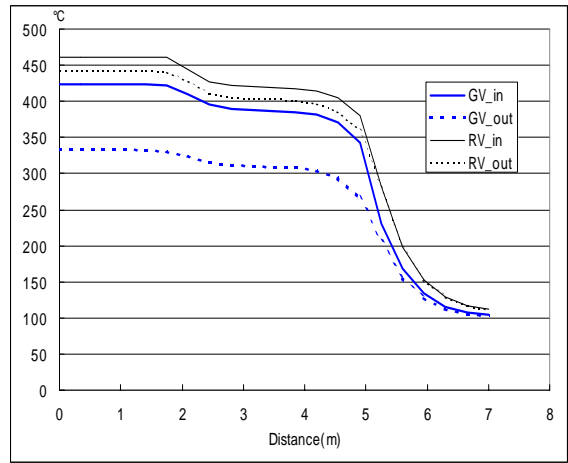
4.



5. GV 2.5cm



6. GV 10cm



7. GV 25cm

+/- 2ΔT가

가  
가

5cm

3가

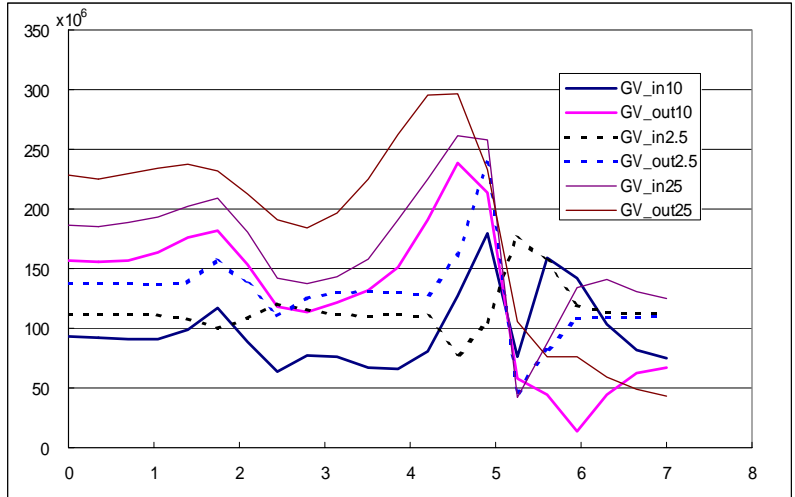
8

2

2.

(MPa)

|    | GV 2.5cm |       | GV 10cm |       | GV 25cm |       |
|----|----------|-------|---------|-------|---------|-------|
|    | Inner    | Outer | Inner   | Outer | Inner   | Outer |
| RV | 140      | 138   | 195     | 142   | 252     | 204   |
| GV | 177      | 239   | 179     | 239   | 262     | 296   |



8.

5m 가

가

가

가 2.5cm 10cm 가

25cm 296MPa 24% 가

450°C 316  
3S<sub>m</sub>(=330MPa)

S<sub>m</sub> 110MPa

3가

25cm

가

10cm 가

가

4.2

ANSYS

9

4

PLANE42

4

FLUID79

166Gpa, 0.3, 7800kg/m<sup>3</sup>

10470kg/m<sup>3</sup>,

(bulk modulus) 27Gpa 가

2.5cm, 5cm, 10cm 3가

가

16.7

가 5cm

10

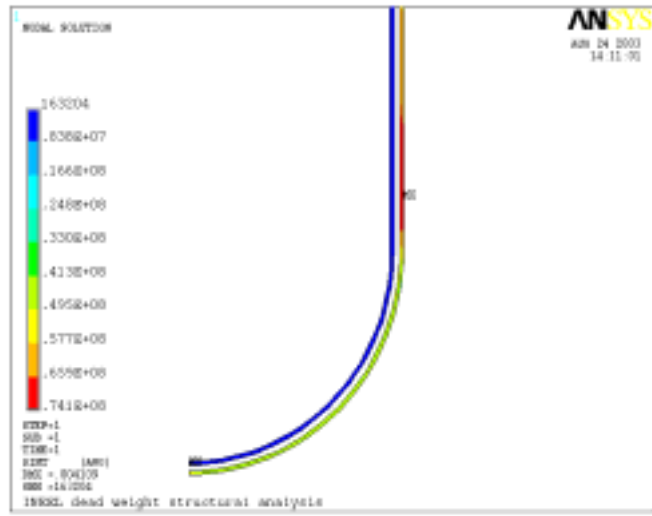
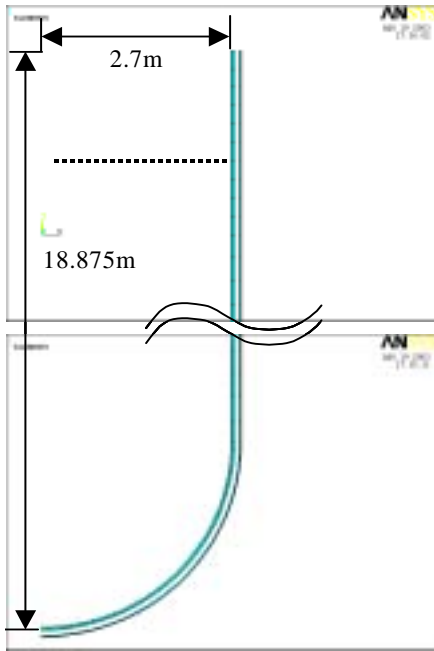
3가

3



3. (MPa)

|    | ( ) | GV 2.5cm | GV 5cm | GV 10cm |
|----|-----|----------|--------|---------|
| RV | 1g  | 72       | 12.4   | 6.91    |
|    | 2g  | 44.1     | 26.2   | 14.6    |
| GV | 1g  | 110      | 63.7   | 34.7    |
|    | 2g  | 215      | 126    | 68.8    |



9.

10. GV 5cm

3 1g

2g

가

가

가

가

(1g)

가

가

가

450°C 316

Sm 110MPa

1.5Sm(=165MPa)

가 5cm

가

(2g)

5cm

가 126MPa

가

10cm

가 69MPa

가 10cm

4.3

Service level A, B, C, D

가

가

가

가

가

가

가 2.5cm, 5cm, 10cm

가

가

ASME Subsection NH[11]

1%

$S_{mt}$

$S_m$

$S_t$

$S_t$

(ㄱ) , , ,

1%

(ㄴ)

80%

(ㄷ)

67%

316SS

1%

$S_t$

가

550°C

가

461°C

가

가 2.5cm

110MPa

454°C

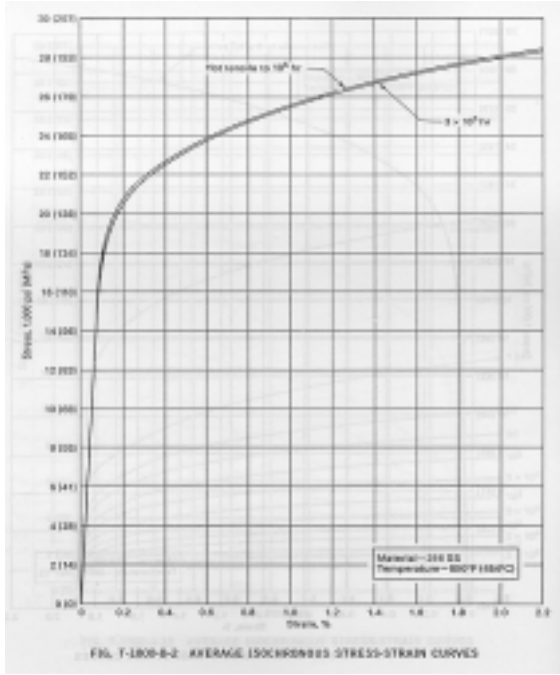
1

110MPa 30

(40 )

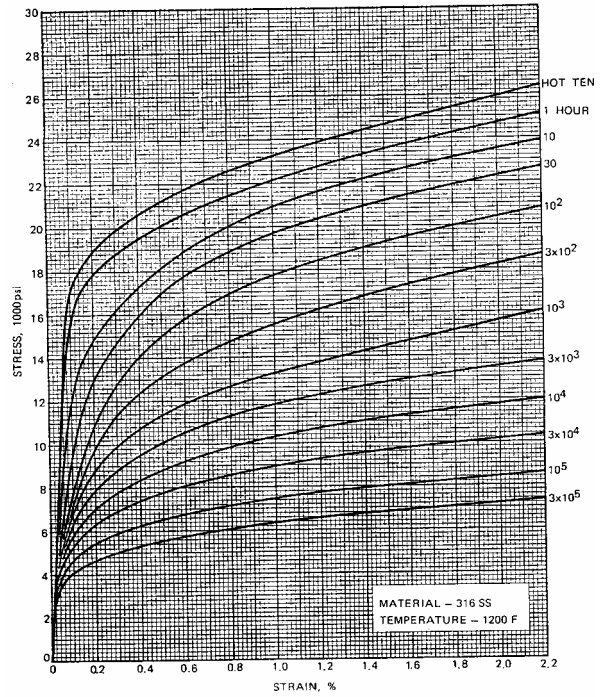
가

$= 30 / 1 = 0.003 \ll 1$



11. 454°C

가 2.5cm



12. 649°C

가

11 316SS 454°C

가

가 2.5cm

가

가

$$= 1000 / 20,000 \times 4 = 0.2 (< 1.0)$$

가가

5.

900MWt

BREST-300

INEEL

INEEL

가 10cm

가

가 .

가

가 650°C 가

가 0.2 가 1

가 가가 가 .

가 가

가가 .

가가

[1] Y.N.Kim and J.K.Kim, A Comparison of Core Perturbation by Coolant Loss between Sodium and Lead-Bismuth Cooled Reactor, Proceedings of Korean Nuclear Spring Meeting, May, 2003.

[2] , , , “ 900MWt Breakeven ”, 2003 , 2003.

[3] , , , “ - ”, 2003 , 2003.

[4] B.A.Gabaraev, A.I.Filin, “Development of a BREST-OD-300 NPP with an On-Site Fuel Cycle for the Beloyarsk NPP Implementation of the Initiative by Russian Federation President V.V.Putin”, ICONE11-36410, Apr., 2003, Tokyo, Japan.

[5] Design of an Actinide Burning, Lead or Lead-Bismuth Cooled Reactor That produces Low Cost Electricity, FY-01 Annual Report, INEEL/EXT-01-01376, INEEL, Oct. 2001.

[6] T.Mihara, Y.Tanaka, Y.Enuma, “Conceptual Design Studies on Various Types of HLMC Fast Reactor Plants”, pp143-150, TECTOC-1348, 2001, IAEA.

[7] L.F.Miller, et.al, “Evaluation of Two 300 MWe Fourth Generation PbBi Reactor System Concepts”, pp.1-10, Proceedings of ICONE 10, Apr. 2002, USA.

[8] T. Furukawa, et.al, “Corrosion Properties of Japanese FBR Materials in Stanant Pb-Bi at Elevated Temperature”, 11<sup>th</sup> International Conference on Nuclear Engineering, ICONE11-36183, Japan, 2003.

[9] Yingxia Qi and Minoru Takahashi, “Study on Corrosion Phenomena of Steels in Pb-Bi Flow”, 11<sup>th</sup> International Conference on Nuclear Engineering, ICONE11-36375, Japan, 2003.

[10] ANSYS, Users Manual Verwion 6.1, 2002.

[11] ASME B&PV Code, Section III, Subsection NH, ASME, New York, 1995.